Note méthodologique

Sécheresse 1999 ; 10 (2) : 129-35

# Suivi de l'état hydrique du sol et de la température du couvert de mais au Sénégal

Cet article présente les possibilités offertes par le couplage des données de la température du couvert, mesurées par télédétection rapprochée par radiothermométrie infrarouge, et du bilan hydrique du sol et des cultures pour, d'une part, appréhender la réponse du maïs au stress hydrique et, d'autre part, améliorer la gestion des apports en eau. Ce travail est d'un intérêt certain pour un pays comme le Sénégal qui fait face à la sécheresse et dont la politique agricole doit s'orienter de plus en plus vers la culture irriguée afin de diversifier la production agricole en introduisant, entre autres, le riz, l'arachide et le maïs.

u Sénégal, le maïs est cultivé dans divers environnements agroclimatiques [figure 1] Dans le système pluvial, cette culture est pratiquée au sud de l'isohyète 600-700 millimètres [1], tandis que la culture irriguée est liée à la disponibilité en eau consécutive, à la mise en place d'aménagements hydro-agricoles dans le delta et la vallée du fleuve Sénégal. Cependant, il est souvent difficile de cultiver le maïs dans le contexte de sécheresse qui sévit en Afrique depuis les années 70

Au cours du cycle cultural, des déficits hydriques affectent la croissance, f: développement et, à terme, la production du mais. Sa période de haute sensibilité au manque d'eau commenterait approximativement une semaine avant la floraison et se terminerait deux semaines après celle-ci [2]. En outre, certains travaux montrent que le rendement du mais est lie aux indices de satisfaction des besoins en eau (evapotranspiration réelle/évapotranspiration marimale, ou ETR/ETM) au cours du cycle et particulièrement pendant la phase cuitique [3]

Dans l'ensemble, ces résultats montrent que le maïs est très sensible au défic l hydrique et que sa culture ne peul réussir qu'en zone bien arrosée où les conditions hydriques nesont pas limitantes Ainsi, c'est une plante à . problème hydrique » et à sensibilité tres va riable au cours du cycle cultural Jadis effectuée autour des cases, la culture du mais se fait de plus en plus en plein champ actuellement. Les superficies emblavées se sont elevées à environ 100 000 ha du cours des deux dernières décennies. En raison de nombreuses contraintes d'ordre édaphique, climatique et organisationnel, les ende ments en milieu paysan ont baissé de

Face à un environnement climatique tri pical cle plus en plus hostile aux au tures, la recherche de solutions permettant d'atténuer les effets de la sécheresse sur le mais demeure une préoccupation constante

11%, passant en noyenne de

12 6 1 kg/ha de 1984 á 990 á

1 2 2 kg/ha pour la période 991

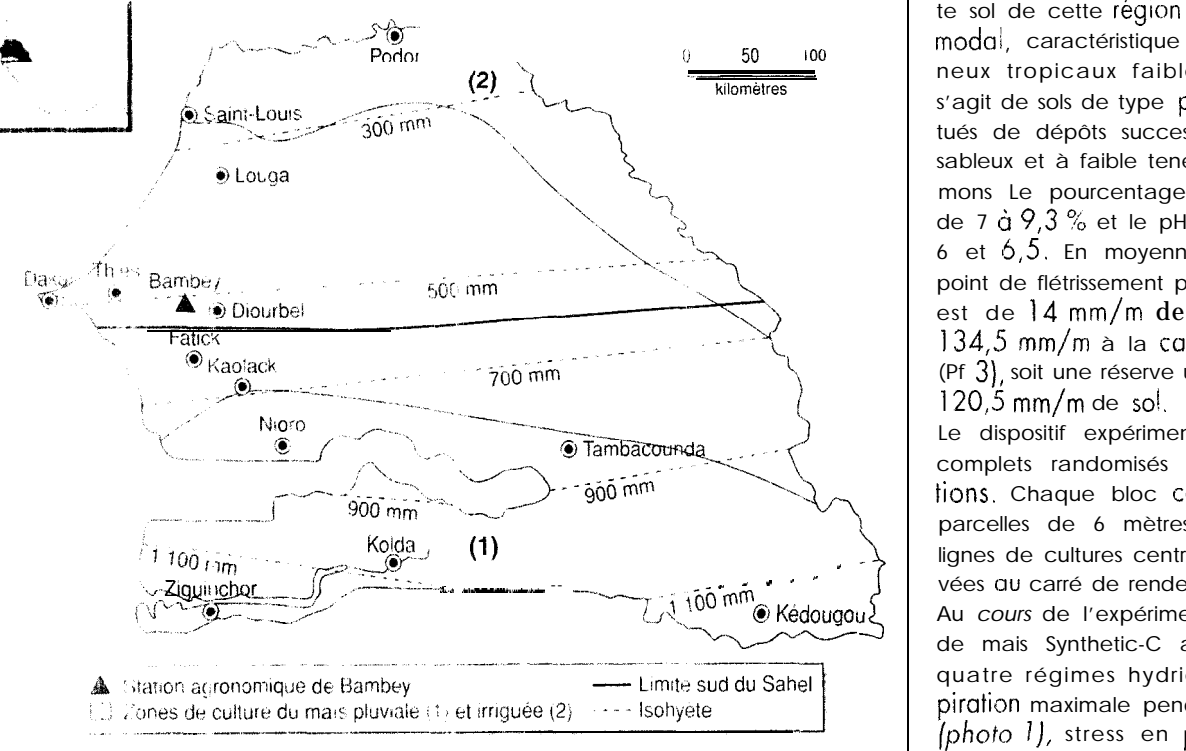
Benoît SARR Omar DICUF Macoumba DIOUF Harold ROY-MACAULEY

ELRANDY CRAF/ISRA BF 3320, Thies to be beneget

Sylvain NDJENDOLE

KIRA BE 127 Bango, République centrafricaine

in house of 2 and 10 mm 1999



Zone de culture de mais et cemuls pluviamétriques moyens (1950-1997) au Sénégal

### **Objectifs**

cette etude a donc été conduite afin d'identifie des critères agrobioclima sques et plysiologiques de gestion optimale de l'oqui en liones sèches en vue d'amélione la production agricole. La note en évidence de liens entre paramêtres au sein du système eau-sol-plante permet de définir des valeurs seuils pour destarche précocement l'irr gation et de deserm ser des stades de sensibilité mission du mais au déficit hydrique

### Matériel et méthodes

Materiel

L'experimentation à été menée au cham;, a Sambey, en 1997 (14° 42′ N, 15' 28' C). Elle a porté sur la variété de neus Synthetic C dont le cycle dure 90 jours, qui est le produit d'une sélecdon cealisés en 1982 par l'Institut sénéquies de recherches agricoles (ISRA) et qui a été largement adoptée par les agriculteurs à cause de son rendement potentiel élevé (supérieur à 4 t/ha).

se climat de cette localité est caractéastique de la zone sahélienne avec

deux saisons bien contrastées la saison des pluies de juin à octobre, à répartition unimodale et dont le maximum se situe entre août et septembre, et la saison sèche de novembre à mai. Au cours de l'hivernage (saison des pluies au Sahel), les conditions climatiques ont été suivies à l'aide d'une station météorologique automatique de type Cime située à 300 mètres de l'essai. L'hivernage a été caractérisé par une irrégularité des pluies et une faiblesse des hauteurs d'eau tombées. Au cours du cycle cultural qui a eu lieu entre le 8 juillet et le 1 et octobre 1997, le cumul pluviomitfrique enregistré a été de 329,2 millimètres contre 437,8 millimètres en médiane pour la période 1966-1995. Les valeurs moyennes de l'humidité relative ont respectivement varié de 84,2 à 100 % pour les maxima et de 36,7 à 70,7 % pour les minima. La moyenne des températures était comprise entre 30.7 et 38,9 °C pour les maxima et entre 21,0 et 25,8 "C pour les minima, et celle du rayonnement global journalier entre 1 124 et 2 683 J/cm² La Vitesse moyenne du vent à 10 mètres du sol était de 2,8m/ et l'évaporation journalière moyenne du bac de classe A de 7,4 millimètres.

te sol de cette région est de type diormodal, caractéristique des sols fe-rugi. neux tropicaux faiblement lessivés!! s'agit de sols de type peu évolué, constitués de dépôts successif: de materiaux sableux et à faible teneur en argile et li mons Le pourcentage d'argile y Varie de 7 à 9.3% et le pH est compris ertre 6 et 6,5. En moyenne, l'humidité au point de flétrissement permanent (Pf 4,2) est de 14 mm/m de sol Elle passe à 134,5 mm/m à la capacité au champ (Pf 3), soit une réserve utile maximale de

Le dispositif expérimental est en blocs complets randomisés quec trois répétitions. Chaque bloc comportait quatre parcelles de 6 mètres de côte. Deux lignes de cultures centrales étaient réservées au carré de rendement

Réi

1.

mei

rale

pics

2.

fect nov

3.

do

upl 19

 $\mathbf{j} \in$ 

Δ

00 Sea

 $\nabla \nabla$ 

GG

6.

111

7

8

Au cours de l'expérimentation, la variété de mais Synthetic-C a été soumise à quatre régimes hydriques évapotranspiration maximale pendant le cycle (TC) (photo 1), stress en phase végétative (T1) du 27° au 42° jour après semis, stress en phase végétative et florgison (T2) et stress en phase florgison (T3) du 50e au 678 jour après le semis. Les parcelles stressées ont été recouvertes de bâches en plastique transparent et étanche à l'eau au moment des pluies et pendant la nuit (photo 2)

les régimes hydriques appliques ont si mulé les formes de sécheresse rencontrées dans 80 % des cas qui Sénégal [4]. Pendant les phases sèches, les traitements en régime ETM ont bénéficié d'une irrigation d'appoint.

L'expérimentation a été conduite dans de bonnes conditions agronomiques labour profond, semences sélectionnées puis traitées au granor, den site optimale de semis (80 x 20 cm), démariage à trois pieds par poquet, fertilisation (200 kg/ha de 8-18-27 at semis, 100 kg d'urée/ha durant la phase végé tative et le début de la phase reproduc tive), sarcle-binages réguliers buttage des parcelles, traitements phytosoni taires et protection anti-aviaire

### Méthodes

L'évolution de la teneur en equi du sol q été suivie en appliquant deux méthodes : la méthode gravimétrique et a méthode neutronique. La gravimétrie a été effectuée sur les horizons supérieurs du sol jusqu'à 20 centimètres de protondeur. Les humidités pondérale (Hp) et



Photo 1 Plantes mainte nues à évapotranspiration maximale (ETM) durant le cycle : developpement vé gétatif exubérant (fin du stade végétatif-début de la phase reproductive).

### Références

1. France E. Politiker G. Enbernon J. Le north of Secregal effet des techniques culture of a 1 d. Sond trans hydriques en culture of 2 at the second trap 1986 - 43 - 85 90

2 - From 1974 (From RH Mater deficit efficiency From 1971 Agree 1972 AC 1952-5

3. The 1 Bryon RFN Proposals for the constant of carlimate structions of 2 of the region of the Reconstitute of the 2016 are a Conference Takarta IRRI 1980 91, 193

4. Death in MVX. Predicting many reason potential from the anset of rains in southern Sahahan and Sudanian climatic zones of West Africa. Agr. Meteorol 1788; 42—295—305.

5. Fijk. D. Dezel-opement de la recherche agronom-que dans le bassir du fleuve. In : OMVS éd Rapport préparé pour l'OMVS et les gouvernements des États membres par la FAO. Fonce. E4O, 1976. 169 p.

6. (einem : Simbair TR. Field pen transportation and leaf growth in response to soil water deficits. Crop Science 1996 : 36 : 331-6.

7. recks in RD. Canopy temperature as a coop water stress indicator. Water Res Res 1981, 4, 1133-5.

 Charlicomier C. Les mesures de température de surface à partir de l'infrarouge theraugue : interprétation en vue de mieux plauitier l'irrigation des culture. IRHO/CIRAD, 1984, 41;

9. (dso 58) Non-water stress baselines . a key to measuring and interpreting plant water stress. Agr. Meteoral 1982., 27: 59-70.

10. Vanderchmitt E. Besom: en eau du mois et de l'arachide à Nioro-du-Rip. Bambey SRA 1989 : 20 n



Photo Mana 23 conditions de délicit hydrague en phase veyelative tralennissement de la croissance vegetative, entrulament et deus sèchement biliaire. As i motallissement par lles en période d'application du stress

volumique (Hv) onr été calculées par les formules suivantes ;

$$Hp = \left(\frac{PF - PS}{PS - PV}\right) \times 100$$

$$Hv = Hp \cdot V dq$$

evec PF = poids frais. PS = poids sec d'échantillon de sol, PV = poids vide de  $l\alpha$  tare et  $d\alpha$  = densité apparente moyenne du sol obtenue à l'aide d'un cammadensimètre (ici : 1,5 g/cm³).

Au milieu de chaque parcelle, un tube d'accès neutronique de 4 mètres de long a été installé, ta sonde à neutrons, préalablement étalonnée par gravimétrie en conditions sèches et humides, a permis de déterminer l'humidité volunique dans les couches inférieures du sol (de 20 cm à 4 m de profondeur). L'équation de l'étalonnage de la sonde à neutrons par gravimétrie est la suivante

$$Y = 0.0471x - 2.94$$
;  $R^2 = 0.96$ 

avec n = 66 points pour les horizents supérieurs à 20 centimètres.

tes parcelles élémentaires ont été également buttées au niveau des bordures pour éviter tout ruissellemen

L'évapotranspiration réelle. O 1 CC nsommation en eau des plantes, pour les différents traitements hydr iques c été estimée au pas de temps hebdomadaire à partir de l'équation du bilan hydrique :

où P = cumul pluviométrique en n'im enregistré entre deux dates de me sures, lri = quantité d'eau apportée paintigation de complément, à stock « variation du stock d'eau mesurée à deux dates différentes, soit S<sub>1</sub> (ou stock mesuré à la date t<sub>1</sub>) = S<sub>2</sub> (ou stock à la dote t.) Ret Dr, qui constituent respectivement les pertes d'eau par ruissellement et par drainage profond, ont été négligés en raison du buttage des parcelles et de la profondeur des tubes d'accès

L'ETM, qui correspond aux besoins en eau théorique du mais, est déterminée par la fonction :

avec Evboccomge qui équivaut approximotivement à l'évopotranspiration po tentielle Penman (ETP), soit ETP =  $0.8 \times$ Evboc classe A durant l'hivernage [5], et Kc qui traduit les coefficients culturoux de la variété Synthetic-C.

te toux de satisfaction des besoins en eau des plantes (TSAT) a été déterminé par le rapport ETR/ETM.

La profondeur d'extraction rocinaire des plantes (PER) a été déterminée, d'une port, indirectement par confrontation de profils hydriques successifs séparés par une période sons apports d'eau et, d'outre port, par corottoge ou 69e jour après le semis. L'eau disponible dons le sol, ou ASW [6], a été obtenue par l'équation suivante

ASW (%) = (stock PER 
$$\rightarrow$$
 stock Pf 4,2)/(stock Pf 3 - stock Pf 4,2)

où stock PER est le stock d'eau pour une profondeur d'extraction racinaire donnée, stocks Pi 4,2 et Pf 3 sont respectivement les stocks d'eau ou point de flétrissement permanent et à la capacité ou champ du 50 pour une même PER.

Lu température du couvert végétal a été mesurée (1) moyen d'un rodiothermo mètre à capteurs infrarouges (Telotemp AG42) Son fonctionnement repose sur le principe selon lequel tout corps émet des rayonnements dont les longueurs d'ondes dependent de sa température Cet appareil permet de mesurer à la fois d température du couvert végétal (Tc) de la plante et celle du différentiel de

température (Tc Tq) entre le couvert et l'air (To), qui dépendent ries capacité tronspiratoires des plantes et donc, de leurs capacités d'absorption de equ disponible dons le sol [7, 8].

Parallèlement, une correlation o Cte étu blie entre (Tc - To) et le déficit de pre; sion de vapeur de l'air (DPV) pour des plantes bren alimentées en eo. (figure 2) por une régressic n inégire su vont la relation

$$Tc - To = a VFD + b.$$

DPV a été déterminé à l'échelle ce la parcelle à partir des températures sèche et humide de l'air mesurées à l'aide d'un psychromètre ventilé

---- -- VWY/oleks 149s Villeyse

Où es est la tension de vapeur d'equ soturante et e la tension réelle de vapeur d'eau;

es = 6, 11 exp 
$$(17,25*t/237,3+1)$$
  
e = es (th) -  $\gamma$   $(1-th)$ 

où test la température de l'air, th la température humide et constante psychrométrique, est voisine de 0,66 mb/°C.

t'indice de stress hydrique des cultures ou CWSI (crop water stress index) [9], a été ensuite calcule à port r cie a relation

CWSI = 
$$(Tc - Ta - P_2)/(P_1 - P_2)$$

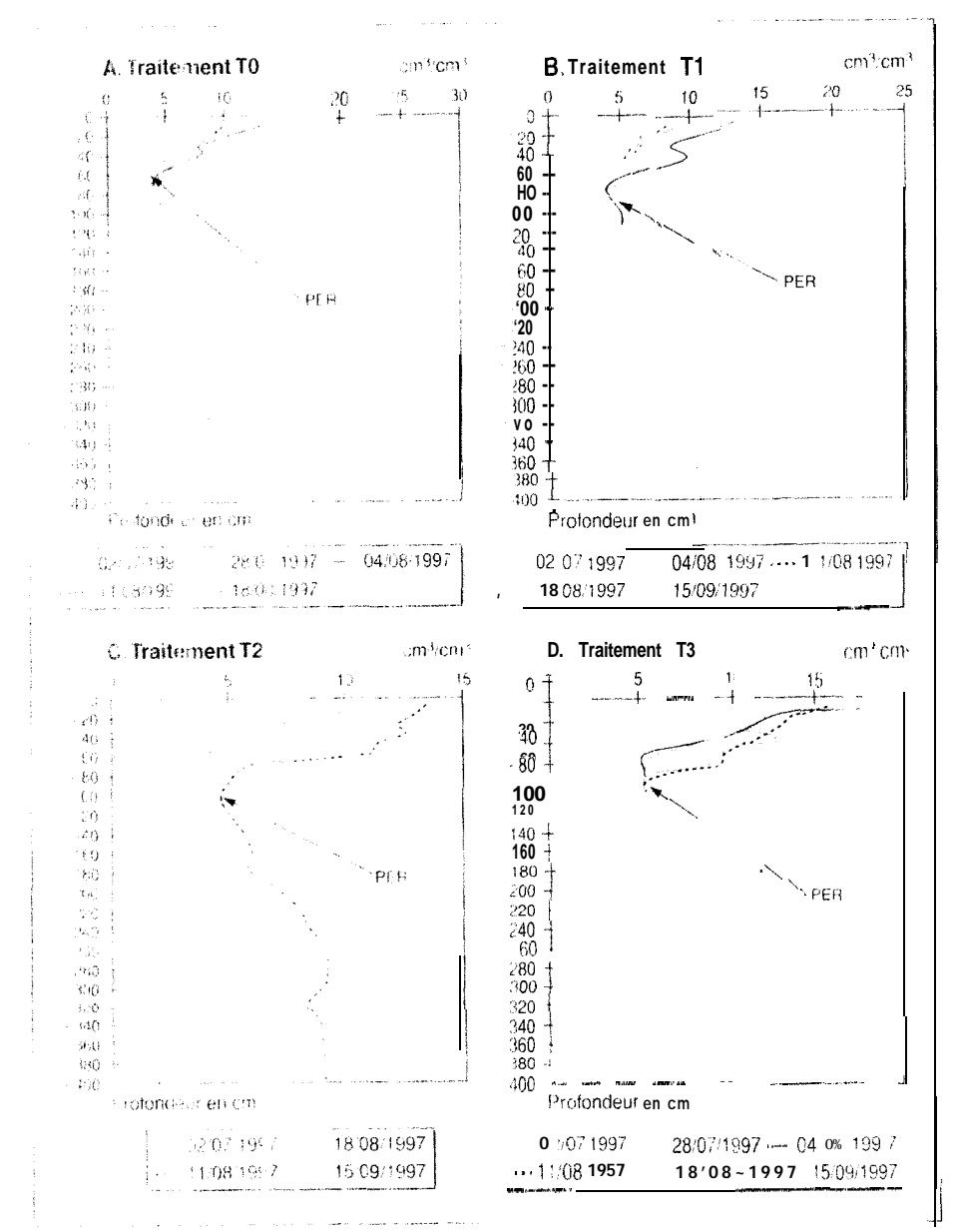
où P, est la différence maximale entre (Tc - Ta) pour une limite supérieure (plantes stressees) et une limite inférieure ou ligne de base (plante, bien rriquées et P<sub>2</sub> est la différence (TC Ta) entre (c. ligne de base et le point considéré



Tc -- Ta : Ci  $y = -0.0201 \times + 1.8587$  R² = 0,0124  $0.1863 \times -0.063$  $B^2 = 0.7619$ 🕆 Ligne de base 32 12 Déficit de pression de vapeur (mb)

Figure 2 Relation entre le différentiel de tempé rature (Tc - Ta) et le dé licit de pression de va neur d'eau pour des plantes en evapotronspi ration maximale (🔺) e: des plantes stressées (\*) au bout de 10 jours sans apport d'eau

- 11. Baldy C, Ruelle P. Fernandes A, et al. Résistance à la sécheresse du sorgho-grain en charat méditerranéen. Sécheresse 1993 4 85 93
- 12. Biopart II., Kone D. Fluctuation de l'ali ment tion hydrique du mais en région centre Cote d'Ivoire) in Bilan hydrique agricole et secheresse en Afrique tropicale. Monrouge. John Libbey Eurotext, 1991. 39-47
- 13. Marone E Étude des relations hy drigues entre le sol et la plante chez l'arachide pour une meilleure définition des concuerts de sécheresse et de stress hydrique. Mémoire probatoire, Bambey ISRA 1994 54 p
- 14. Annerose D, Clouvel P, Mayeux A Conduite de l'irrigation dans la région du fleuve Senégal. Approche physiologique et application à la culture de l'arachide. In Atelies base centre Arachide-Ceraas : L'ara hide cultivée en zones sèches Stratégies et methodes d'amélioration de l'adaptation a la sécheresse. Bambey CNBA, 1996 : 11-2
- 15. Corr B. Bilan hydrique et productivite du md (Pennisetum glaucum) cultivé au hame sous différents regimes hydriques thies CERAAS, 1997; 11 p.



Engre S. Evoluir n du profit hydrique du sol sous culture de mais pour différents régimes hydriques : a) evaporar spirat : a maximale (ETM) pour le cycle (TC) ; b) stress lors de la phase végétative (TT) ; c) stress lors de la phase végétative et de la floraison (TZ) : d) stress lors de la phase floraison (T3).

Tableaut Profondeur maximaled enracinement et	vitesse mo	yenne de c	roissante o	inaire
Tru tements	TO	TI	<b>T2</b>	T3
Pronfondeur maximale d'enracinement (cm) Vitesse moyenne de croissance rotinaire (cm/j)	60,00 0.86	85,00 1,23	100,00 1,45	85,00 1,23

Tableauli consonmation en eau et coe	efficients	culturau	actua	lise:.	du mais	Synthe	ic-C	rozan sine			]
Jours aprês sems (Evba (mm)	6 7.40	' 800	20	27	34	4}	48	55	62	69	76 83
ETRmax (mm)	2,00	3.90		8,60 8,10		8,10 12.00	6.00 11' 30	580 9'.70		500 9,60	5.10 6,20 5:60 5,50
Coefficients cultural x 1997 x K/Vand*	<b>027</b> 0.29	0.48 0.48	_0.67 0,50		"2,Q 1,09	1'.48 1.60	1.',.7.1 1,77	1,53 1,80	1,36 1,50	1,31 1,30	1,09 0,88 0.80 0.50
Moyenne des coefficients culturoux	0,28	0,48	0,59	0,80 0,87	1,14	1,54	1,74	1,67	1,43	1,30	0. 95 0,69

pe ficient, ( alturaux proenus par Van derchmitt avec le bac classe A[ 101 en 100 pour la vérité Synthetic-C

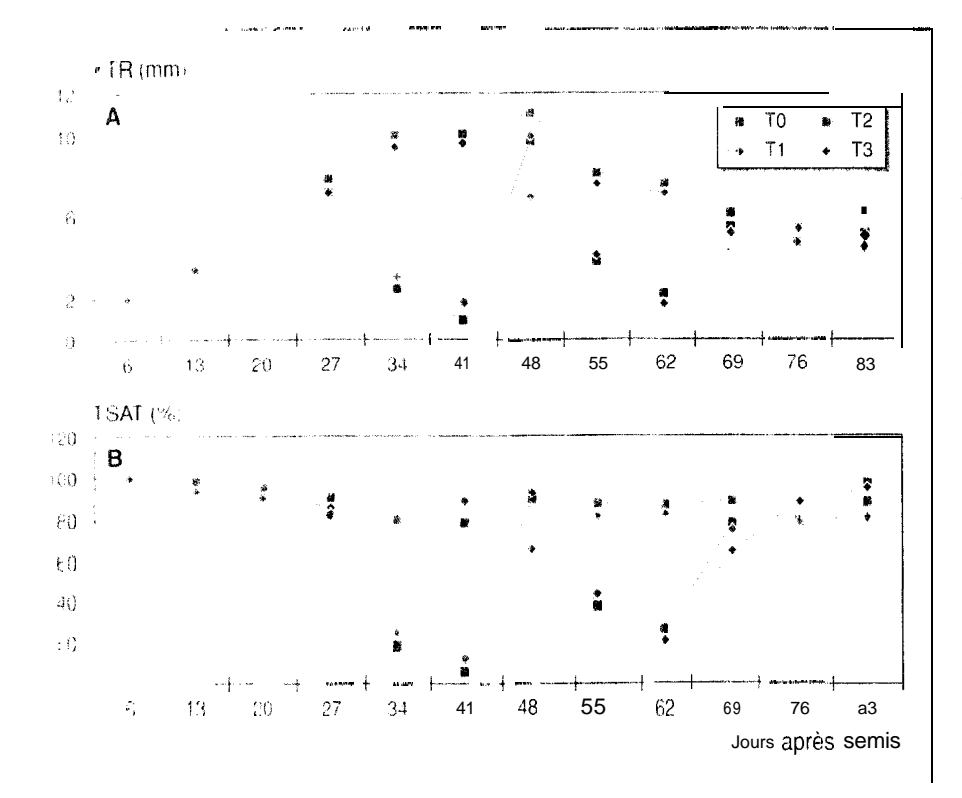
Enfin, les valeurs du CWSI ont éte mises en relation avec celles du rendement en grains.

### Résultats et discussion

La dynamique de lequet celle de l'enra cinement ont été influencées par l'application différentielle du régime hydrique La teneur en eau dans les parcelles témoins (TO) a été élevée et a varié enfre 8 et 25 % pour une profondeur d'extraction racinaire de 60 centimètres (figure 3a-d) soit une croissance racingire journalière d e 0,86 centimètres au 69° jour après semis, Sur les par-celles stressées T1 et T3. la profondeur d'extraction racinaire a at feinf, à la mêmedate, 85 centimètres, soit une croissance de 123 cm//Pouletra tement 72 stressé en phase végétative et en phase floraison, elle a atteint 100 centimètres au 69º jour après semis, soit me vitesse de 1,44 cm/i.

Ces résultats sur la reponse au système racingire au déficit hydrique ont été confirmés par- le carottage effectué le même jour. Les profils racinaires établis à la fin du cycle *ltableau Il révèle*nt ainsi une extension verticale plus importante (hez les plantes stressées 2 fois (100 cm) que (hez celles ayant subi un seul stress (63 cm) Cette extension permet en période de déficit hydrique, de mieux explorer les couches les plus profondes du sol pour exploiter l'eau qu'elles contiennent En revanche le système racinaire di mais reste superficiel en condition de confort nydrique (PER de 60 cm pour les TO) Par ailleurs, l'application du stress a entraîné une diminution de l'évapotranspiration réelle /figure 4a) pour les traitements [] (1,8 mm/j) et T2 (0,8 mm/j) (30 s 1 jour après semis alors qu'elle est restée très proche de 10 mm/j pour les TO et T3. Au 62' jour après semis, l'évapotranspiration réelle journalière de T3 et T2 alo s stres sés, a atteint la valeur de 1,9 mm/ tandis que celle de TO et Il était très proche de 7 mm/j. Les coefficients culturaux ai tuali ses de la variété Synthetic C (tableau II) ont été obtenus en faisant la moyenne des valeurs de ceux donnés par Vanderchmitt [ 10] et de ceux déterminés au cours de cette expérimentation

La figure 4b montre l'evolution du taux di e satisfaction des besoins en éau des plantes au cours du cycle La cointrainte hydrique a provoque une chute brutale die cie taux qui a affetnt des faibles valeurs au 41° jour après semis



Expre d'Évolution, pour différents régimes hydriques du mais : a) de l'évapotranspiration réelle (ETR) ; les du toux de satisfaction des besoins en eau (ETR/ETM).

robleauthComp	osantes dubilan h	ydrique ete	ficacité d'utilis	ation <u>de l'e</u> au	par lemais	gjirje dje ligitilitik gra sommersom manskalanderskele.
h aitemor	Ir igation	Pluie	ETR	ETR/ETM	Rendement moyen	Efficacité d'utilisation de l'eau
	(mm)	(mm]	Cycle (mm)	Cycle (%)	(t/ha)	(kg/mm/ha)
10	445 390	329 239	625 465	73	2,44	6,5 5,2
†2 13	291 343	192 281	430 553	67 79	1,28 1,65	2,9 3,0

(11.11.41% T2 5,79%) et au 62% (12.25,98%, T3:21.76%) correspondent respectivement aux stress des phase végétative et reproductive. Cette aliment on de l'évapotranspiration réelle, aduit, par le déficit hydrique du sol, esplique le laible niveau du taux de satisfaction des besoins en eau des plantes stressées. Ces valeurs (inférieures et 30%) tradu sent des niveaux de stress très sévères pour le maïs.

Enrigation de complément des témbins (10) pour l'ensemble du cycle a accéléré la consommation en eau et a permis d'obtenir des niverux d'alimentation en eau optimoux (taux de satisfaction des besoins en ecu des plantes de l'ordre de 90 %). Durant l'application du deuxième stress au les 12 et 13 en phase de floraison, le baux de satisfaction moyen a été de 14,00 % pour 12 et de 46,11 % pour 13 faivant les traitements, une variation importante de l'évapotranspiration réelle mutae pour l'ensemble du cycle a été

notée : les traitements TO et T3 ont consommé le plus d'eau, respectivement 624,98 et 552,99 millimètres (ce qui correspond approximativement aux besoins en eau cumulés du maïs), alors que T1 et T2 en ont consommé le moins, respectivement 464,96 et 429,92 millimètre,s du fait de l'intensité (T2) et de la phase d'application du stress (T1).

tes rendements en grains rapportés aux consommations en eau (ETR) ont permis de calculer l'efficacité de l'utilisation de l'eau consommée par le maïs. Sur l'ensemble des traitements, TO se distingue par la meilleure efficacité : 6 , 5 kg/ha/mm (tableau III). L e traitement T l, stressé en phase végétative, a eu un régime hydrique plus efficace (5,2 kg/ha/mm) que T2 (2,9 kg/mm/ha) et T.3 (3 kg/ha/mm), stressés en floraison Pour T1. la récupération qui a fait suite à la phase de déficit hydrique a été bonne et la réhydratation durant la phase floraison-

remplissage des grains a sensiblement amélioré son efficacité. E est apparu que le stress en période de floraison a eu un effet dépressif sur l'efficacité d'utilisation de l'eau pour les traitements T2 et T3. Ces résultats montrent que la production en grains de la variété Synthetic-C est fortement liée aux conditions d'alimentation hydrique pendant lu floraison.

L'évolution comparee (figures 5a et 5a) de l'eau disponible dans le sol et de l'indice de stress hydrique montre l'étroite dépendance entre ces deux paramètres Des valeurs élevées du CWSI correspon dent à de faibles niveaux de disponibil lité en eau dans le sol C'est le cas des traitements T2 et T3 stressés en phase floraison, où la contrainte hydrique lorsqu'elle est associée à la forte de mande climatique accroît a ternpératu-e du couvert végétal L'augmentation de l'indice de stress hydrique traduit l'inca pacité de la plante à maintenir sa trans oiration foliaire en relation avec a limi tation de l'absorption hydrique racinaire et/ou la fermeture des stomates Une 'augmentation rapide de cel indice est étroitement associée à une baisse de l'eau disponible, de l'ordre d e 40 a 50 %.

En outre, une baisse du endement en grains du mais est associée a une aug mentation de de l'indice de stress hy drique pendant la florgison A ce mo rnent du cycle végétatif, des indices de stress hydrique intérieurs à 0,27 don nent des niveaux de rendement en grains appréciables pour la variété Sy 1 thetic-C (figure 6). Des ren lements maxi maux, supérieurs a 4 t/ha sont obtenus pour des valeurs de l'indice de stress hy drique proches de 0. Ces résultats confirment que le rendement final en grains dépend étroitement des conditions hydriques de la plante durant la période de la florgison

Ce travail montre dinsi l'intérêt du suivi de la température du couvert et de l'equi du sol pour étudier la réponse du stress hydrique, la gestion de l'alimentation en equiet le comportement agronomique des cultures en zones sèches [11] t'indice de stress hydrique et e taux de

t'indice de stress hydrique et e taux de satisfaction des l'esoins en eau soint deux paramétros important à caractér i sant l'état hydrique des plantes. Une à duction de l'eau disponible dans le sol de 40 % environ et une valeur de l'in dice de stress hydrique de l'ordre de 0,27 correspondent à un début de déf

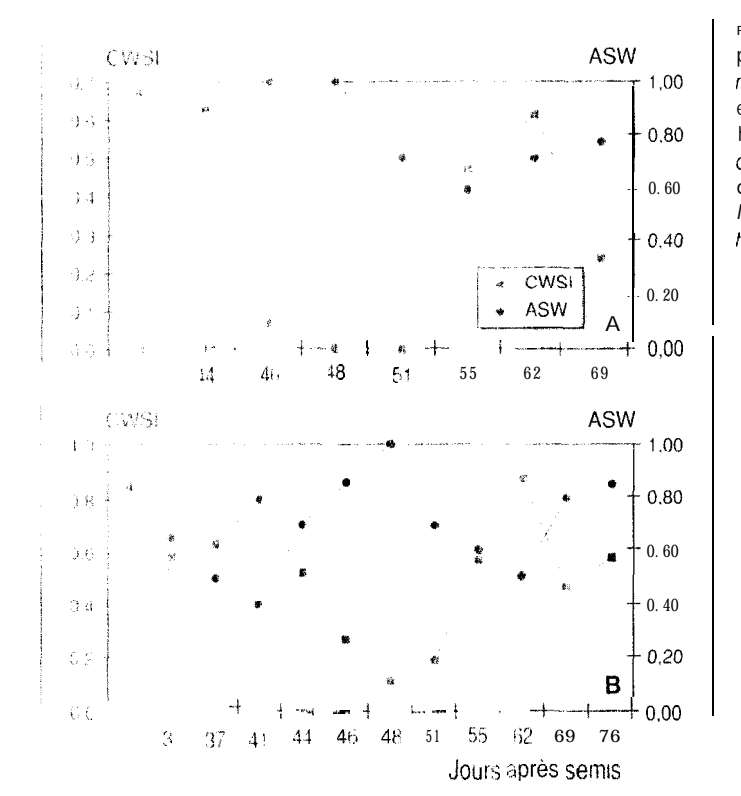


Figure 5. Evolution comparée de l'eau disponible dons le sol (ASW) et de l'indice de stress hydrique des cultures : a) stress /ors de la phase de floraison , b) stress lors des phases végétative et de la floraison

ch hydrique modéré chez le mais, avec des valeurs de taux de satisfaction des besoins en sau correspondants infédecres a 71 % environ [12]. Ces va leurs peuvent être retenues comme indice seul pour déclencher précocement l'irraction It diquons ici que pour l'arachide, l'eau disponible dans le sol cor respondante est de 50 à 60 % [13] et l'indice de stess hydrique de 0,3 [14] ; pe et le mil, l'eau disponible dans le sol est de Tordis de 70 à 60 % [15]. Les résultats obsenus ici pour le mais indiquent su plu-grande sensibilité au stress hydrique que les autres espèces tropicoles

### Conclusion

l'arude du bilan hydr que du système sol plante-atmosphère a permis de mettre en évidence la grande censibilité de la production de mais au rationnement hydrique aurait la période de la floraison. Par ailleurs, en couplant l'eau disponible dans le sol, le taux de satisfaction des besoins en eau des plantes, l'indice de stress l ydr que et le rendement en grans, on a pu retenir pour la variété Syntheid-C, me valeur l'indice de stress livdrique de l'ordre de 0,27 comme seuil pour declencher l'irrigation

### **Summary**

In Senegal, maize (Zea mays L.) is cultivated in different agroclimatic zones. Under rainfed conditions, south of the 600-700 mm isohyet, maize cultivation is limited by water deficit periods during the rainy season Under irrigated conditions, maize is mainly grown in the Senegal River vulley. In this context, assessment of the response of maize to drought und water resources management are essential for optimizing maize production. In the present study, water stress was applied at different maize phenological stages under field conditions. The study was aimed at comparing different indicators of soil and crop water stress level that could be used as tools for scheduling irrigation, and at determining stages in the maize growth cycle when water deficit is most crucial. The results highlighted that a 40-50% decrease in ASW, corresponding to a 75% TSAT, induced a rapid increase in CWSI Grain yields of >4 t/ha were obtained when the CWSI level at flowering was <0.27. By integrating these parameters, a CWSI of 0.27 WQS calculated as the threshold level for early irrigation scheduling concerning the Synthetic-C maize variety.

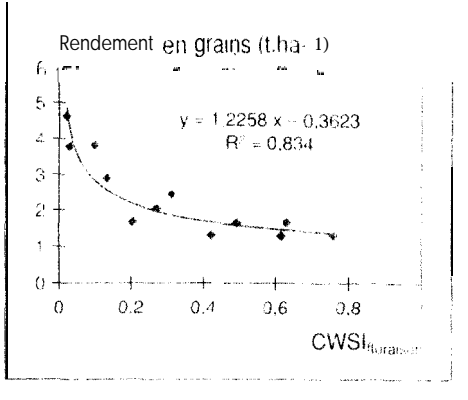


Figure 6. Relation entre l'indice de stress hydrique des cultures à la floraison (CWSi<sub>floreson</sub>) et le rendement en grains du mais

### Résumé

Au Sénégal, le maïs (Zeu Mays L.) est cultivé sous divers environnements agroclimatiques. En système pluvial, cette culture, qui est pratiquée qu sud de l'isohyète 600-700 mm, est limitée par t'opparition de périodes de déficit hydrique au cours de la saison des pluies. En culture Irriquée, elle est pra tiquée dans la vallée du fleuve Séné gal. Dans ce contexte, l'étude de la réponse à la sécheresse des cultures et/ou la gestion optimale de, res sources en eau deviennent une don née importante pour améliorer la production agricole. Des travaux ont été conduits au champ en conditions de déficit hydrique à différents stades phénologiques du mais. Le but de cet essai était de comparer différents paramètres révélateurs du niveau de stress hydrique du sol et de a plante tels que l'eau disponible dans le so le taux de satisfaction des besoins en eau des plantes et l'indice de stress hydrique des cultures. Les résultats obtenus ont montré qu'une réduction de l'eau disponible dans le sol de 40 à 50 %, correspondant à un laux de satisfaction des besoins en equ de l'ordre 75 %, entraînait une housse rapide de l'indice de stress hydrique. Des rendements en grains supérieurs à 4 t/ha ont été obtenus pour des valeurs de l'indice de stress hydrique a la floruison inférieur à 0,27. En coteplant ces différents paramètres, on a pu déterminer, pour lu vuriété Synthetic-C, une valeur seuil d'indice de stress hydrique de 0,27 pour déclencher précocement l'irrigation.

### Marcel C. NWALOZIE<sup>1\*</sup> and Daniel J.M. ANNEROSE<sup>2</sup>

Current address : CERAAS

a n versity P.M.B. 2000, )werri NIGERI A RAD A, B P 5035, 34032 Montpellier, FRANCE, Tel 133 RT 51 58 00/Fax 67 5156 \*5

(\*Corresponding author)

The responses of three varieties, each of cowpea and peaned (two most important leguminous species cultivated south of the Sahara), were compared to explain the frequently observed nigher leaf relative water content (RWC) in sowpea than peanut during drought. RWC is one important parameter used in determining plant states during drought.

Plants were grown in 20 litre PVC pots in controlled conditions (maximum temperature was 49.6 - 2.0% in the day, and  $23.5 \pm 1.4\%$ C in the aight relative humidity ranged from 49.8±4.1% in the day to  $90.0 \pm 3.5\%$  in the night). Natural light was not supplemented (maximal irridiance was  $> 800~\mathrm{gM}~\mathrm{m}^{-1}~\mathrm{s}^{-1}$  at midday). The experiment was a candomized complete block (2 species X 3 varieties  $N \otimes irrigation$  schedules, stressed and origated) with 5 replications. Irrigation was ansocoded for stressed plants between 32 and 50 Lays after saving, an I resumed when gravimetric araistiae was between 84.1% to 87.4% less than the state (0.76 to 0.80 g g<sup>4</sup> soil). Measurements if RWC, stomatal conductance (by porometry) and total natiogen (by the Khedial method) were taken at intervals, whereas osmotic adjustment was measured on day 47 (by the method of Livingston and De Jong, 1988)

Generally, drought caused significant reductions in RWC (f.g. 1). However, whereas the RWC in cample did not drop below 82.1% during drought, RWC in peanut dropped to 60.9%. A high temporary wilting point (TWP) was observed for covera (78% RWC), below which the leaves entered an irreversible permanent wilting status (PWS). Peanut leaves entered PWS below 55% RWC, heaves that had not passed TWP recovered on reladration.

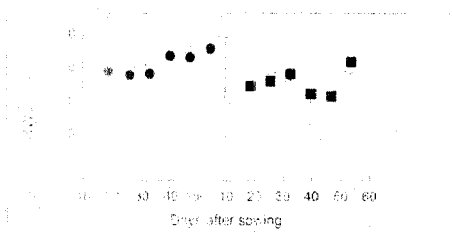
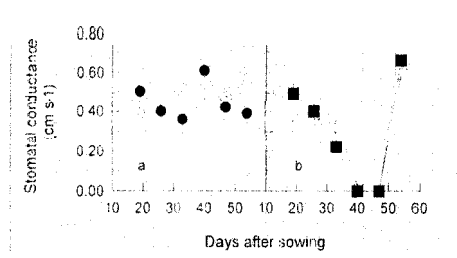


Fig. - Retailine water content in trial non-stressed plants, (to pressent plants) the planut is represented as open symbolated cowpea as filled symbol.

# Stomatal Behavior, Osmotic Adjustment and Water Status of Cowpea and Peanut at Low Soil Moisture Status

Stomatal closure was more rapid in cowpea han in peanut during stress. The prompt, response through stomatal closure (fig. 2) in cowpea enabled the plants to check stomatal transpiration as soil moisture deficit persisted. Complete stomatal closure was delayed in peanut. Such delays, although heneficial in respect of CO assimilation, were at the risk of continued water



loss through partially open stomata.

Fig. 2; Stomatal conductance in (a) non-stressed plants, (b) stressed plants; peanut is represented as open symbol and cowpea as filled symbol.

Higher amounts of leaf total nitrogen were maintained in stressed cowpea, whereas there were decreases in the quantity of total nitrogen in st ressed peanut (fig 3). Nitrogenous compounds, such as amino acids, could be playing a role in cosmotic adjustment (OA) in cowpea.

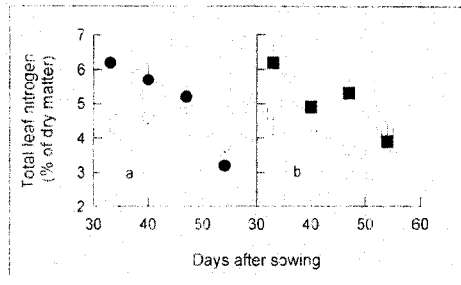


Fig. 3: Total leaf nitrogen in (a) non-stressed plants, (b) stressed plants; the peanut is represented as ODEN symbol and cowpea as filled symbol.

The plants that had experienced water stress had significantly higher leaf RWC! than the non-stressed ones when rxposed to concentrations of salt solution. At more negative osmotic potential the leaf tissue of cowpea retained higher moisture than that of peanut (fig. 4). Osmotic adjustment could be helping cowpea to retain more leaf moisture during water stress, Plants with higher OA had higher RWC during drought, Osmotic adjust ment reduces the impact of stress experienced by cells.

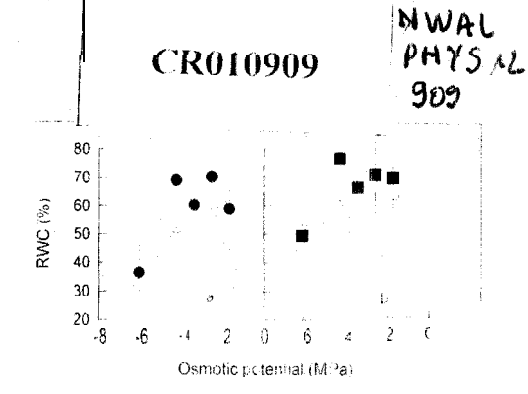


Fig. 4: Osmotic adjustment in (a) non-stressed plant%, (b) stressed plants; the peanut is as open symbol and cowpea as filled symbol (Data taken on day 47).

**Table 1.** Relative pod yield in cowpea and peanut (g g-1 shoot weight) after a short period of water stress.

	_stressed	 non st	ressed
cowpea	0.9	 1	
peanut	1.1	 1	497 <del>1946-4</del> 9.4+1 N 911

Although cowpea had higher RWC, promptly closed its stomata, and also had a better osmotic adjustment than peanut relative ped yield (g g-1 shoot weight) in cownea was not higher than peanut (Table 1). Rapid stomatal closure may have interferred with CO, assimilation, especially during reproductive growth in cowrea. However, prompt stomatal response and osmotic adjustments appear to be responsible, among other factors, for the higher RWC in cowpea than in peanut. On resumption of irrigation peanut recovered its lush growth more rapidly than cowpea. In conclusion therefore, cowpea and peanus appear to be exhibiting two different but efficient strategies in response to drought, since relative yield was not affected. Cowpea utilizes a conservative strategy in comparison to peanut which has an evasive one.

### Acknowledgements

This study was conducted at Centre d'Einde Régional pour l'Amélioration de l'Adaptation à la Sécheresse (CERAAS), Bambey, Senegal and was supported with funds from EEC, contract number TSCA 0401M (CD).

#### Reference

Livingston, N.J. and E. De Jong (1988). Agroe, J. 80 815-818.



# Centre d'étude régional pour l'amélioration de l'adaptation à la sécheresse

ISRA/CNRA — BP 59 Bambey — Sénégal

Bambey — Sénégal Tel./Fax: (221) 73 61 97



Conférence des responsables de la recherche agronomique africains

BP. (120 - Dakar - Sénégal Tel: (227) 25/96/88. Fax: (221) 25/55/69 Telec: 51084/CIRAF



Institut sénégalais de recherche agricales

L. Route des Hydrocarbures Bel Air - BP 3120 Dakar - Sénegal Fes.: (221) 32 24 30 / 32 24 31 Fes.: (221) 32 24 27



01 n037 11 - 2 Mortpellie cedex t - France 66 13 0 977 - 58 00

#### M C NWALOZIE1\*. N. CISSE, J.-L. KHALFAOUI" and D.J.M., ANNEROSE<sup>2</sup>

Current address CERAAS hivers ty, P.M. B. 2000, Owern, NIGEF IA IRADICA, BP 5035, 34032. Montpellier FRANCE. Tel (33 67 61 58 00/Fax 67 61 56 0)5

!\*Corresponding author)

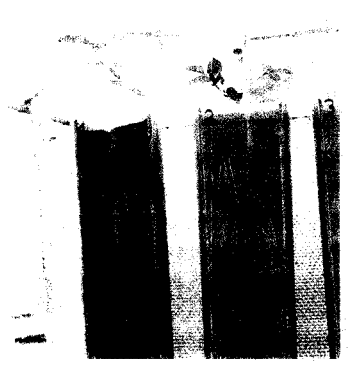
## Root Behavior in Cowpea during Water Stress

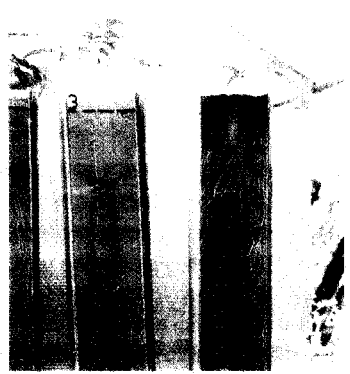
IN WAL PHYS12 1361

CR001361

The growth and distribusiness costs of two compea varieties (ITS4 S2 (0) 4 and B89-504) were student in drying

and wast all columns dran de ir zo d and distance existins





The plants were grown in 1 m opaque PVC tubes (plain la and 1b), as previously described by American (1990). The experiment was conducted in a dasshouse (max mum temperature was 35.0 ± 46 C day and 19.0 ± 2.5°C night; maximum relative homidity was 72.0 ± 1.0% and minimum was 10.0 + 3.0%; and natural daylight). In situ post clonga ion and distribution, as apparent on the sanspirent window, were studied from comincrement of soil drying to the end of the expersonal aviday 31 after sowing. Observations from the transparent window were assumed to be representative of the entire soil column. The results are presented as pooled means of the varieties.

The primary root in drying soil column was significantly (p<0.01) longer than that in irrigated soil. The root in drying soil was growing at the rate of 2.2 cm day<sup>1</sup>, and attained a length of 63.5 ± 6.4 cm, whereas that in irrigated soil was growing at the rate of 1.25 cm day and was  $41.5 \pm 4.9$  cm by de 31 (fig. 1).

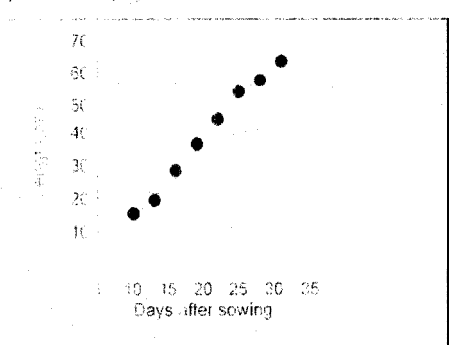


Fig 1: Longth of the longest root in stressed (filled symbol) and non-stressed (open symbol)

The density of rooting in the upper segment of soil column (0 to 40 cm) was significantly (Per 0) togher in moist soil than in drying soil column at the later part of the experiment (fig. 2a). As the soil columns graduated into deeper profiles (40 to 80 cm), the density of rooting in well watered plants decreased remarkably, and increased for plants in drying soil (fig. db). The higher root density in the deeper segments for plants in drying soil was an indication of root reorientation to the distribution of water in the soil column, which maximized root contact with thr unexplored and more moist parts of 1 ht: soil. Moist soil has a higher water potent id and also offers low mechanical resistance to root expansion.

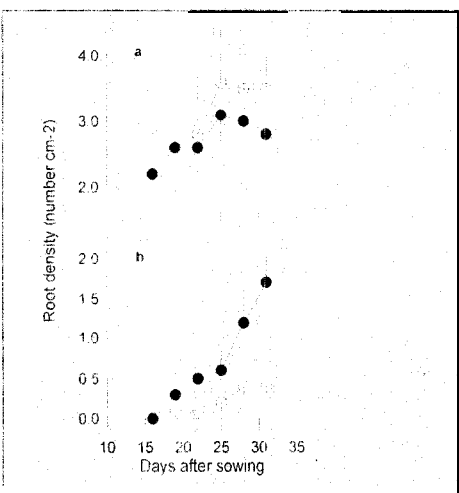


Fig 2: Root density in stressed (filled symbol) and non-stressed (open symbol) cowpea at (a) 0 to 40 cm, and (b) 40 to 80 cm of the soil column.

There was a significantly (p<0.01) lower moisture content in the upper (0 to 40 cm) than in the lower (40 to 80 cm) segments of the drying soil columns (fig. 3) at the end of the experiment. Most of the water in t he upper segment (0 to 40 cm) of drying soil had been depleted by day 31. With root proliferation into thr 40 to HO cm segment of drying soil column, the moisture content of this region began to decline, indicating water extraction from the hitherto unexploited soil.

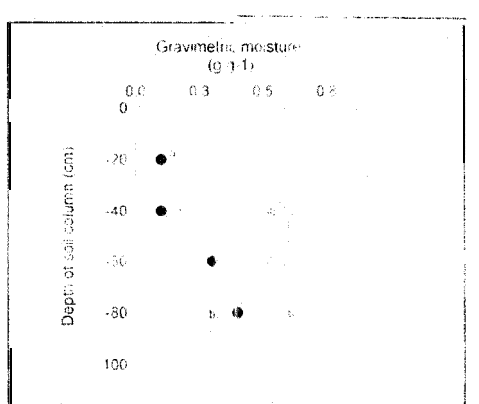


Fig. 3: Gravimetric moisture content of the soil columns. Stressed soil is represented as filled symbol and nonstressed as open symbol (data taken on day 31).

Table 1. The effects of soil drying on leaf water potential. leaf area and biomass in cowpea (data taker on day 31).

	stressed	roustressec
Water potential (MPa)	3,00±0,8	4.95 €0.5
Shoot dry weight (g)*	0.70±0.2	1.550.5
Leaf area (cnr <sup>2</sup> )*	122 5±3 °	187.5 ± 10.2
Root volume(cm <sup>3</sup> )	4.7 ± 0.2	5,0±0:1
Root dry weight (g)	0.40±0.1	0.48 0.1

In spite of the deeper proliferation of roots in drying soil columns and depletion of mosture at such depth, the leaves had significantly (P<0.01) lower water potential, shoot weight and leaf area than those of well irrigated columns (Table 1). Water uptake by the deep roots of plants in drying soil was not sufficient to off-set the detrimental effects of drought on the above soil biomass. The lower dry weight and volume of roots in drying soil than in moist soil was not, however, significant, Soil drying did not appear to have provoked the growth of extra roots since final root mass in drying soil was similar to that in irrigated conditions. There was rather a change in the orientation of the roots along the gradients of water distribution in the column, with a loss of root material at the upper and gain in the lower segments as the soil dried.

### **Acknowledgements**

This study was conducted at Centre d'Etude Régional pour l'Amélioration de l'Adaptation à la Sécheresse (CERAAS), Bambey, Senegal and was supported with funds from EEC grant number ST2A 0101M(CD).

### Reference

Annerose, D.J.M. (1990). These, Université Paris VII. 282 pages.



### Centre d'étude régional pour l'amélioration de l'adaptation à la sécheresse

ISRA/CNRA -- BP 59 Bambey --- Sénégal Tel./Fax: (221) 73 61 97

BP 3120 --- Dakar ---Sénégal Tel.: (221) 25 96 18 Fax 1 (221) 25 55 69 Telex: 51284CORAF

COPAL

Conférence des responsables de la recherche africains

agricoles Sel Air --- BP 3120 Dakar --- Senegal Tel.: (221) 32 24 30 / 32 24 30 Fax (221) 32 24 27

Institut

de

sénégalais

recherches



Centre de coopération en recherche le developpement

51.2 Manipella " ad [ **33**".b.]